

การพัฒนาไบโอดีเซนเซอร์สำหรับวิเคราะห์น้ำบริมาณไฮโดรเจนเปอร์ออกไซด์โดยตรึง 酵素ราดิช เปอร์ออกซิเดสบันโพลิไพรอล และอนุภาคนาโนทอง

Development of Biosensor for Detection of Hydrogen Peroxide Concentration by
Immobilization of Horseradish Peroxidase on Polypyrole and Gold Nanoparticles

ศิริวรรณ ตีภู^{*} สุภาวดี อินทร์พรต และฐานิตา แนกจำ

Siriwan Teepoo, Supavadee Intarot and Thanita Nakkoum

ภาควิชาเคมี คณะวิทยาศาสตร์และเทคโนโลยี มหาวิทยาลัยเทคโนโลยีราชมงคลธัญบุรี

Department of Chemistry, Faculty of Science and Technology, Rajamangala University of Technology Thanyaburi, Thailand

วันที่รับบทความ 22 กันยายน พ.ศ. 2557

วันที่ตอบรับตีพิมพ์ 20 เมษายน พ.ศ. 2558

บทคัดย่อ

งานวิจัยนี้เป็นการพัฒนาไบโอดีเซนเซอร์โดยใช้酵素ราดิช เปอร์ออกซิเดสบันโพลิไพรอล และอนุภาคนาโนทอง บนชิ้นไฟฟ้า สำหรับวิเคราะห์น้ำบริมาณไฮโดรเจนเปอร์ออกไซด์ โดยศึกษาหาสภาวะที่เหมาะสมที่มีผลต่อประสิทธิภาพของไบโอดีเซนเซอร์ ได้แก่ เวลาในการเกิดอิเล็กโทรโพลิเมอร์ เช่นชั้นของโพลิไพรอล ความเข้มข้นของไพรอล ปริมาณอนุภาคนาโนทอง ศักย์ไฟฟ้า ความเข้มข้นและพิเศษของสารละลายฟอสเฟตบัฟเฟอร์ ผลการทดลองพบว่าสภาวะที่เหมาะสมคือ ใช้เวลา 40 วินาที ในการเกิดอิเล็กโทรโพลิเมอร์ เช่นชั้นของโพลิไพรอล ใช้ไพรอลความเข้มข้น 0.1 M ปริมาณอนุภาคนาโนทอง 500 μL โดยให้ศักย์ไฟฟ้า -0.15 โวลต์ และใช้สารละลายฟอสเฟตบัฟเฟอร์ความเข้มข้น 0.1 M พีเอช 6.00 และพบว่าริธีที่ได้พัฒนาขึ้นสามารถตรวจหาปริมาณไฮโดรเจนเปอร์ออกไซด์ในช่วงความเข้มข้น 0.1-0.9 mM มีขีดจำกัดการตรวจวัดโดยประเมินจากความเข้มข้นของสารที่ให้สัญญาณเป็น 3 เท่าของสัญญาณ rob กวน มีค่าเท่ากับ 0.02 mM และใช้เวลาในการตอบสนองเพียง 5 วินาที สุดท้ายน้ำวิธีนี้ไปประยุกต์ใช้สำหรับวิเคราะห์น้ำบริมาณไฮโดรเจนเปอร์ออกไซด์ในตัวอย่างจริง ผลการทดลองพบว่าผลลัพธ์ที่ได้เมื่อเปรียบเทียบกับผลลัพธ์ที่ไม่มีความแตกต่างกันอย่างมีนัยสำคัญ ที่ระดับความเชื่อมั่น 95 %

คำสำคัญ : ไฮโดรเจนเปอร์ออกไซด์ ไบโอดีเซนเซอร์ อนุภาคนาโนทอง โพลิไพรอล แอมเพโตรเมทริกไบโอดีเซนเซอร์

*Corresponding author. E-mail: siriwan@mail.rmutt.ac.th

Abstract

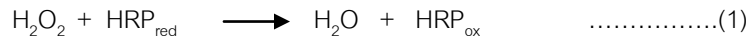
In this research, a biosensor was developed for detection of hydrogen peroxide. Horseradish peroxidase was immobilized on electrode surface via polypyrole and gold nanoparticles. All affecting performances of biosensor were optimized such as electropolymerization time of polypyrole, concentration of pyrole, volume of gold nanoparticles, applied potential, concentration and pH of phosphate buffer. The optimum conditions were: 40 second for electropolymerization time, 0.1 M of pyrole concentration, 500 µL of gold nanoparticles, -0.15 V for applied potential, 0.1 M and pH 6.00 of phosphate buffer. This developed biosensor could detect the concentration of hydrogen peroxide in the range of 0.1-0.9 mM with the detection limit at 0.02 mM which was estimated as the analyte concentration that produced a signal of three times the background noise. The response time was only five second. Finally, the proposed method was applied to detect the concentration of hydrogen peroxide in real samples. When compared with the label, it was found that all results were no difference at significance level of 95 %.

Keywords : Hydrogen peroxide, Biosensor, Gold nanoparticles, Polypyrole, Amperometric biosensor

บทนำ

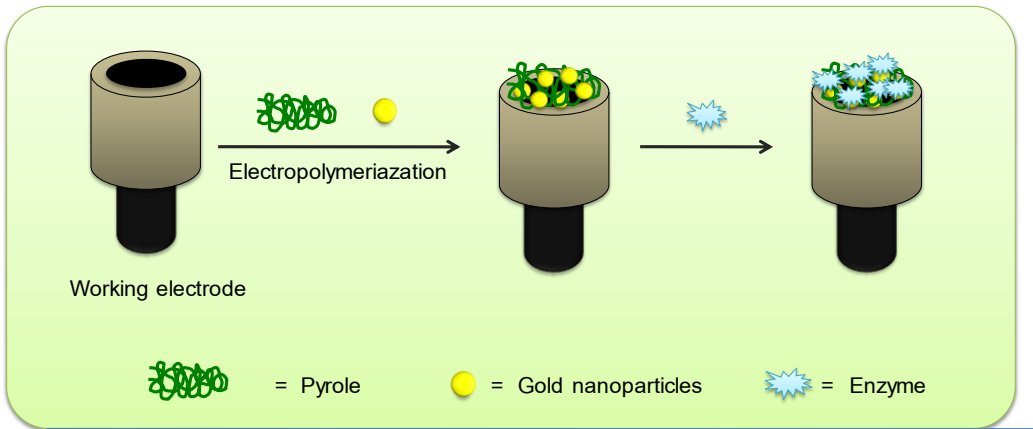
ไฮโดรเจนเปอร์ออกไซด์ (Hydrogen peroxide; H_2O_2) เป็นสารออกซิไดซ์ที่แรง โดยมีสมบัติสามารถฟอกสี และฆ่าเชื้อโรคได้ดี (Hu et al., 2012) ดังนั้นจึงนิยมนำไฮโดรเจนเปอร์ออกไซด์ไปใช้ในอุตสาหกรรมต่างๆ ตัวอย่างเช่น นำไฮโดรเจนเปอร์ออกไซด์ไปเป็นส่วนผสมในการผลิตน้ำยาดับเพลิง ย้อมสีผ้า ยาสีฟัน อุตสาหกรรมฟอกหนัง เพื่อฟอกสี หรือนำไฮโดรเจนเปอร์ออกไซด์ไปเป็นส่วนผสมหลักในน้ำยาล้างแผลเพื่อฆ่าเชื้อโรค (Elzanowska et al., 2004; Silva et al., 2012; Korkut et al., 2008) นอกจากนี้ยังได้นำไฮโดรเจนเปอร์ออกไซด์ไปใช้ในกระบวนการสเตอโรไรด์ และการกระบวนการพาสเจอร์ไรซ์น้ำเพื่อฆ่าเชื้อโรคในน้ำนมดิบ (Haddadin et al., 1996) เนื่องจากไฮโดรเจนเปอร์ออกไซด์มีฤทธิ์กัดกร่อนสูง ดังนั้น ถ้าหากร่างกายได้รับไฮโดรเจนเปอร์ออกไซด์ในปริมาณที่มากเกินไป อาจทำให้เกิดการแพ้ ระคายเคือง (Suzuki et al., 1999) วิธีทั่วไปที่ใช้ในการวิเคราะห์หาปริมาณไฮโดรเจนเปอร์ออกไซด์มีหลายวิธีได้แก่ ไทเตรต (Titrate) (Hurdis, & Romeyn, 1954) สเปกโตรสโคปี (Spectroscopy) (Hoshino, et al., 2014) และクロมาโทกราฟี (Chromatography) (Yue, et al., 2009) แต่พบว่าวิธีดังกล่าวมีข้อจำกัด ได้แก่ มีผลขั้นตอน ใช้สารเคมีอันตราย มีผลของตัวรบกวน และเครื่องมือ มีราคาสูง ทำให้มีค่าใช้จ่ายในการวิเคราะห์ที่ต้องตัวอย่างค่อนข้างสูง (Shi, et al., 2000) ดังนั้นทำให้งานวิจัยนี้สนใจที่จะพัฒนา วิธีวิเคราะห์หาปริมาณไฮโดรเจนเปอร์ออกไซด์โดยใช้เทคนิคไบโอดีเซนเซอร์ ทั้งนี้เพราเวทคนิกนี้มีข้อดีคือ เป็นวิธีที่มี ความจำเพาะเจาะจงสูง ให้ผลวิเคราะห์ที่ถูกต้องและแม่นยำ ไม่ต้องมีขั้นตอนการเตรียมตัวอย่าง ทำให้ลดค่าใช้จ่ายในการ วิเคราะห์ลง (Ghaderi, & Mehrgardi, 2014; Zhou et al., 2011; Cao et al., 2008) ที่ผ่านมาจึงได้มีการประยุกต์ใช้เทคนิค ไบโอดีเซนเซอร์ในการวิเคราะห์หาปริมาณสารต่างๆ เช่น กลูโคส (Yang et al., 2014) ยาผ่าแมลง (Shang et al., 2011) โลหะหนัง (Moyo et al., 2014) และสารบ่งชี้มะเร็ง (Hu et al., 2014) เป็นต้น เทคนิคไบโอดีเซนเซอร์เป็นการอาศัยการทำงาน

ร่วมกันระหว่างสารวัสดุชีวภาพ เช่น เอนไซม์ เนื้อเยื่อ หรือเอนไซบอดี กับตัวตรวจวัด เมื่อสารตัวอย่างที่ต้องการจะวิเคราะห์ เกิดปฏิกิริยาทำให้เกิดการเปลี่ยนแปลงทางกายภาพหรือทางเคมี ตรวจวัดการเปลี่ยนแปลงที่เกิดขึ้นด้วยตัวตรวจวัดตามการเปลี่ยนแปลงของปฏิกิริยาที่เกิดขึ้น สำหรับการตรวจวัดหาปริมาณไฮโดรเจนเปอร์ออกไซด์ด้วยเทคนิคใบโอลเซนเซอร์นิยมใช้เอนไซม์ออกสราดิช เปอร์ออกซิเดส (Horseradish peroxidase; HRP) เป็นวัสดุชีวภาพ (Wang et al., 2003; Yao et al., 2005; Xin et al., 2013) โดยตึง (Immobilization) เอนไซม์ออกสราดิช เปอร์ออกซิเดสไว้บนชิ้นไฟฟ้าทำงาน และมีสารช่วยส่งผ่าน อิเล็กตรอน (Mediator; M) เช่น เมทิลลีนบลู (Methalene blue) เฟอร์โรเชน (Ferocence) ทำหน้าที่ช่วยในการส่งผ่าน อิเล็กตรอนระหว่างเอนไซม์กับชิ้นไฟฟ้า (Nakabayashi, & Yoshikawa, 2000; Tian et al., 2001) ถ้าในตัวอย่างมีไฮโดรเจนเปอร์ออกไซด์ จะเกิดปฏิกิริยาขึ้นที่ผิวน้ำของชิ้นไฟฟ้าดังสมการที่ 1-3 จากสมการจะเห็นได้ว่ามีการถ่ายเทอิเล็กตรอนเกิดขึ้นระหว่างผิวน้ำของชิ้นไฟฟ้ากับสารละลาย เมื่ออิเล็กตรอนมีการเคลื่อนที่จะทำให้เกิดกระแสไฟฟ้าขึ้น และใช้เทคนิคแอมเพอร์โตริกเป็นตัวตรวจวัด โดยที่กระแสไฟฟ้าที่เกิดขึ้นจะแปรผันโดยตรงกับความเข้มข้นของไฮโดรเจนเปอร์ออกไซด์ (Ernst et al., 2007)



อย่างไรก็ตามการตึงเอนไซม์ออกสราดิช เปอร์ออกซิเดสไว้บนชิ้นไฟฟ้าทำงานโดยตรง มีข้อเสียคือ ทำให้สูญเสียการทำงานของเอนไซม์ได้ง่าย ดังนั้นที่ผ่านมาจึงได้มีงานวิจัยพบร่วมกับสตดุนโนน เช่น ท่อนานิคาร์บอน (Odaci et al., 2008) อนุภาคนาโนเงิน (Ma et al., 2008) และอนุภาคนาโนทอง (Shi et al., 2008) ถูกนำมาใช้ในการตึงเอนไซม์ไว้บนชิ้นไฟฟ้าทำงานเพื่อรักษาไม่ให้กิจกรรม (Activity) ของเอนไซม์สูญเสีย อนุภาคนาโนทองเป็นวัสดุนาโนที่ถูกนำมาใช้ในเทคนิคใบโอลเซนเซอร์มากที่สุด เพราะอนุภาคนาโนทองมีข้อดีคือ ช่วยในการนำไฟฟ้า เพิ่มพื้นที่ผิว และไม่เป็นพิษต่อเอนไซม์ (Xu et al., 2006) นอกจากนี้ได้มีงานวิจัยที่นำพอลิเมอร์นำไฟฟ้า เช่น พอลิไพรอล (Tam,& Hieu, 2011) มาใช้ในการตึงร่วมกับอนุภาคนาโนทองบนชิ้นไฟฟ้าทำงาน พอลิเมอร์นำไฟฟ้านอกจากจะใช้เพื่อตึงอนุภาคนาโนทองบนชิ้นไฟฟ้าทำงานแล้ว พอลิเมอร์นำไฟฟ้ายังสามารถช่วยในการส่งผ่านอิเล็กตรอนได้อีกด้วย เนื่องจากเป็นพอลิเมอร์นำไฟฟ้า

ดังนั้นในงานวิจัยนี้จึงสนใจที่จะพัฒนาเทคนิคใบโอลเซนเซอร์เพื่อตรวจหาไฮโดรเจนเปอร์ออกไซด์ โดยตึงเอนไซม์ออกสราดิช เปอร์ออกซิเดสไว้บนอนุภาคนาโนทองและพอลิไพรอล ดังภาพที่ 1 จากนั้นนำชิ้นไฟฟ้าที่ได้พัฒนาขึ้นมาปีกิริยาชีวภาพ ปริมาณไฮโดรเจนเปอร์ออกไซด์ในตัวอย่างจริง



ภาพที่ 1 ขั้นตอนการตีริงเอนไซม์บนข้าไฟฟ้าทำงาน

วัสดุอุปกรณ์และวิธีการวิจัย

เอนไซม์ของสาวัดิช เปอร์ออกซิเดส (Horseradish peroxidase, Sigma-Aldrich) ไฮโดรเจนเปอร์ออกไซด์ (Sigma-Aldrich) ไพโรล (Pyrrole, Sigma-Aldrich) โพแทสเซียม เฟอร์ริกไซยาไนด์ (Potassium Ferricyanide, Ajax Finechem) กัลูตราอลดีไฮด์ (Glutaraldehyde, Fluka) ไฮโดรเจนเตตระคลอโรอเรต (Hydrogentetrachloroaurate(III), Sigma-Aldrich) ไตรโซเดียมซิตรัต (Trisodium citrate, Sigma-Aldrich) และโซเดียมบอร์โไฮไดรด์ (Sodium borohydride, Sigma-Aldrich)

เครื่องมือวิเคราะห์ทางเคมีไฟฟ้า (Auto lab PGSTAT10, Eco chemie, Netherland) ประกอบด้วยข้าไฟฟ้า 3 ข้า ได้แก่ ข้าไฟฟ้าเกรตเป็นข้าไฟฟ้าทำงาน (Working electrode) ข้าไฟฟ้าซิลเวอร์ซิลเวอร์คลอไรด์เป็นข้าไฟฟ้าอ้างอิง (Reference electrode) และ ข้าไฟฟ้าแพลทินัมเป็นข้าไฟฟ้าช่วย (Auxiliary electrode) ใช้สำหรับการตรวจวัดทางเคมีไฟฟ้า และเครื่องสเปกโทรโฟโตมิเตอร์รุ่น UV – 1601 จากบริษัท SHIMADZU ใช้สำหรับตรวจสอบสมบัติการดูดกลืนแสงของอนุภาค nanoในทอง

การทดลอง

การสังเคราะห์อนุภาคนาโนทอง

ผสมสารละลายโซเดียมบอร์โไฮไดรด์ ความเข้มข้น 125 mM ปริมาตร 1,200 μL และสารละลาย ไฮโดรเจนเตตระคลอโรอเรต ความเข้มข้น 0.3 mM ปริมาตร 153 μL ลงในสารละลายไตรโซเดียมซิตรัต ความเข้มข้น 0.38 mM ปริมาตร 500 mL คนสารละลายต่อเนื่อง เป็นเวลา 12 ชั่วโมง เก็บสารละลายที่ได้ไว้ที่อุณหภูมิ 4 °C และนำสารละลายที่ได้ไปตรวจสอบสมบัติการดูดกลืนแสงของอนุภาคนาโนทอง ด้วยเครื่องสเปกโทรโฟโตมิเตอร์ที่ความยาวคลื่น 300-700 nm

การตีงเอนไชเมร์บนข้าไฟฟ้าทำงาน

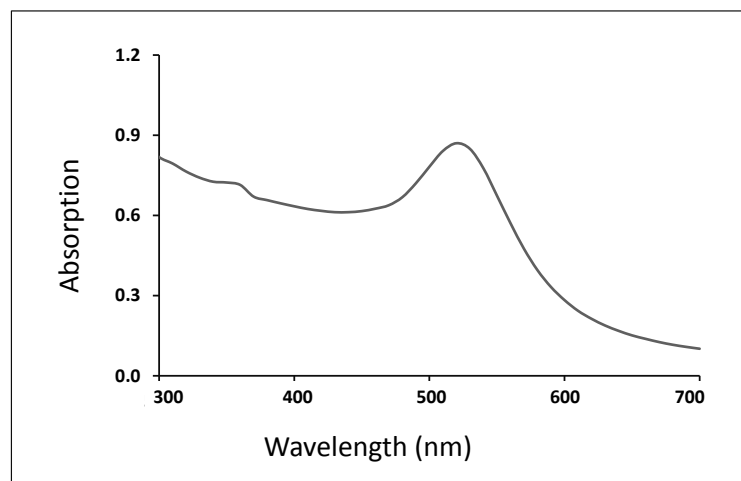
ขั้นแรกต้องพอกลิไฟโอล และอนุภาคนาโนทองบนข้าไฟฟ้าทำงานโดยวิธีอิเล็กโทรโพลิเมอร์ไรเซ็น (Electropolymerization) โดยจุ่มข้าไฟฟ้าทำงานในสารละลายไฟโอล ความเข้มข้น 0.1 M ผสมกับอนุภาคนาโนทอง ปริมาตร 500 μL ที่มีโซเดียมคลอไพร์ต ความเข้มข้น 0.1 M ปริมาตร 5 mL ให้ศักยไฟฟ้า + 0.7 โวลต์ เป็นเวลา 30 วินาที ขั้นต่อไป จุ่มข้าไฟฟ้าลงในสารละลายกลูตารัลดีไซด์ความเข้มข้น 2.5% (v/v) เป็นเวลา 30 นาที และขันสุดท้ายเป็นขั้นตอนการตีงเอนไชเมร์ โดยจุ่มข้าไฟฟ้าลงในเอนไชเมร์ออกซิเดส เปอร์ออกซิเดส ความเข้มข้น 5 mg/ml เป็นเวลา 12 ชั่วโมง จะได้ข้าไฟฟ้าทำงานที่ตีงด้วยเอนไชเมร์เยื่อสิริดิสเปอร์ออกซิเดส เพื่อวิเคราะห์หาปริมาณไฮโดรเจนเปอร์ออกไซด์ ในระบบไปโอบเรนเชอร์ ต่อไป โดยขั้นตอนการตีงในแต่ละขั้นจะล้างข้าไฟฟ้าด้วยสารละลายฟอสเฟตบัฟเฟอร์ พีเอกซ 7.00 จำนวน 3 ครั้ง จากนั้นนำข้าไฟฟ้าที่ได้ไปตรวจสอบการเกะดิดด้วยเทคนิคไซคลิกโอลแทมเมทริก โดยจุ่มข้าไฟฟ้าลงในสารละลายโพแทสเซียมเพอร์โวไรด์ ความเข้มข้น 10 mM ที่มีโพแทสเซียมคลอไพร์ต ความเข้มข้น 0.1 M โดยให้ศักยไฟฟ้า -0.2 ถึง +0.6 โวลต์ การวิเคราะห์หาปริมาณไฮโดรเจนเปอร์ออกไซด์ด้วยเทคนิคแอมเพโรมิตริก

จุ่มข้าไฟฟ้าทำงานที่ตีงด้วยเอนไชเมร์เยื่อสิริดิสเปอร์ออกซิเดส ข้าไฟฟ้าชิลเวอร์ซิลเวอร์คลอไพร์ต และข้าไฟฟ้าแพลทินัม ลงในสารละลายฟอสเฟตบัฟเฟอร์ พีเอกซ 6.00 ความเข้มข้น 0.15 M ที่มีเมทิลลีนบูร์ ปริมาตร 30 μL เติมไฮโดรเจนเปอร์ออกไซด์ 1.5 mM โดยให้ศักยไฟฟ้า -0.15 โวลต์ แก่ข้าไฟฟ้าทำงาน และวัดค่ากระแสไฟฟ้าตอบสนองที่ได้

ผลการวิจัยและวิจารณ์ผล

การสังเคราะห์อนุภาคนาโนทอง

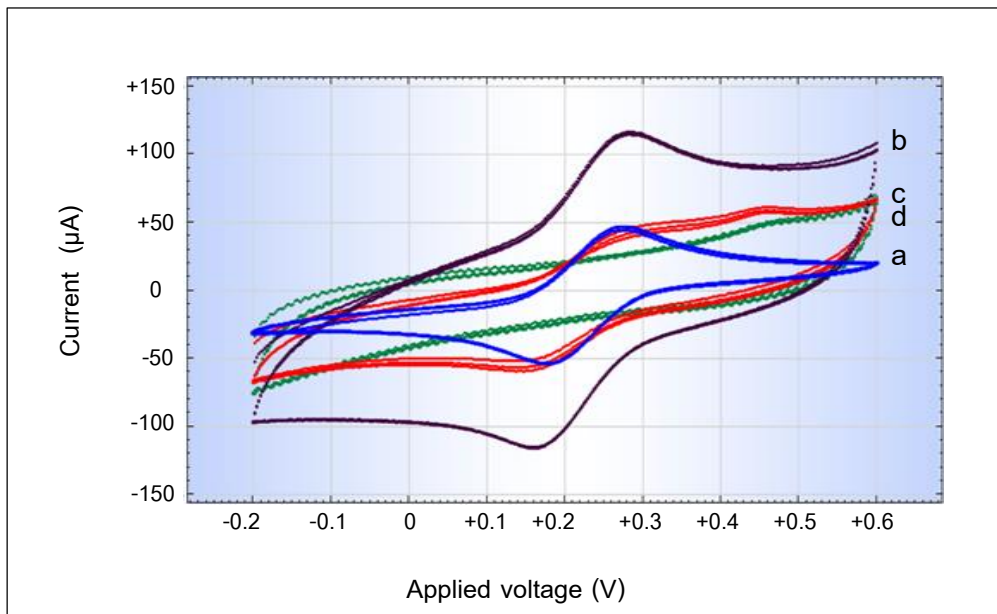
อนุภาคนาโนทองที่สังเคราะห์ได้ มีลักษณะเป็น colloidal ขนาดสี่ม่วงแดง และเมื่อนำอนุภาคนาโนทองที่สังเคราะห์ได้ไปตรวจสอบสมบัติทางแสง พบรีดของกรดดูดกลืนของแสงที่มีค่ากรดดูดกลืนแสงสูงสุดที่ความยาวคลื่น 520 nm ตั้งภาพที่ 2 โดยผลการวัดแสดงให้เห็นว่าอนุภาคนาโนทองที่สังเคราะห์ได้เป็นอนุภาคนาโนทอง เพราะอนุภาคนาโนทองมีสมบัติการดูดกลืนแสงอยู่ในช่วงความยาวคลื่น 500-600 nm (Hu et al., 2014)



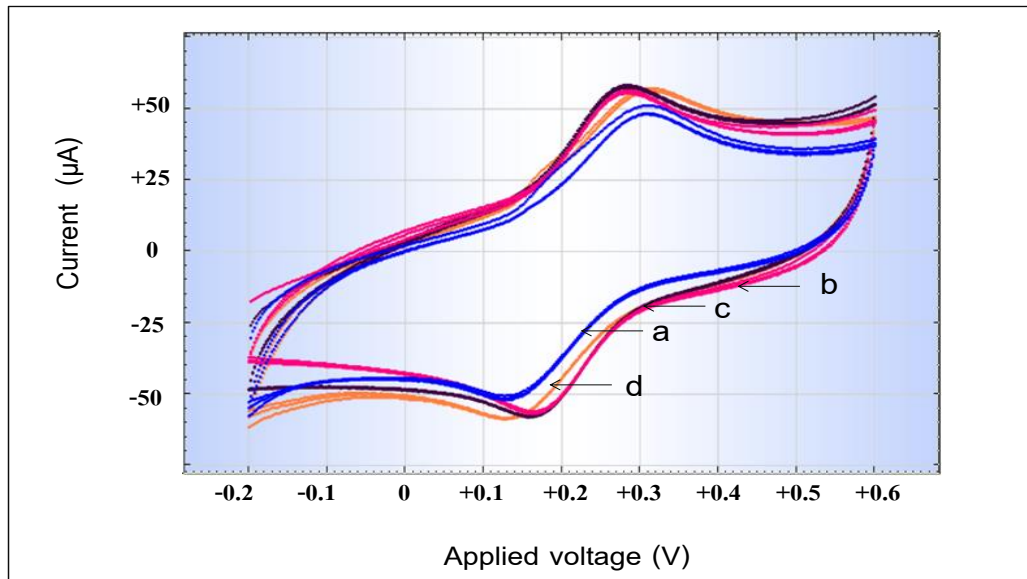
ภาพที่ 2 สเปกตรัมการดูดกลืนแสงของอนุภาคนาโนทอง

การตรวจสอบขั้นตอนการตีริงและการตอบสนองของเอนไซม์บนชี้วไฟฟ้าทำงาน

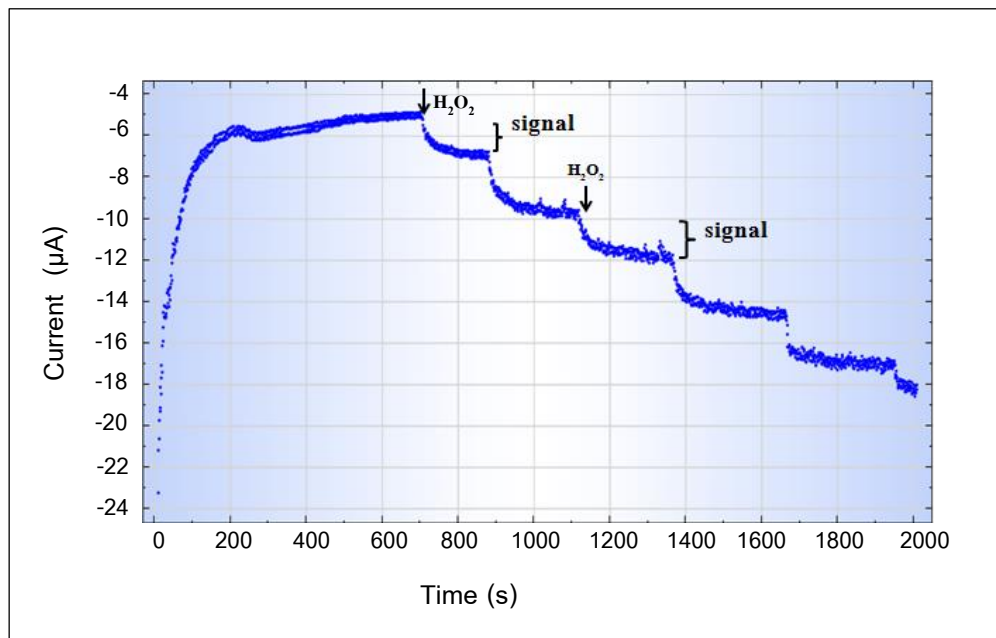
ภาพที่ 3 แสดงผลการตรวจสอบการตีริงเอนไซม์ออกซิเดต บันช์ไฟฟ้าทำงานแต่ละขั้นตอน ด้วยเทคนิคไซคลิกโอลแทนเมทริก พบร่วมกับพอลิไฟโรลและอนุภาคนาโนทองไว้บนชี้วไฟฟ้าทำงาน ค่ากระแสไฟฟ้าที่ได้เพิ่มขึ้น เมื่อเปรียบเทียบกับชี้วไฟฟ้าที่ไม่ตีริงเอนไซม์ออกซิเดต พอลิไฟโรลและอนุภาคนาโนทอง (ชี้วไฟฟ้าเปล่า) เพราะทั้งพอลิไฟโรลและอนุภาคนาโนทองมีสมบัติช่วยในการส่งผ่านอิเล็กตรอนจากเอนไซม์ไปยังชี้วไฟฟ้า จากนั้น เมื่อตีริงด้วยกลูตารอตดีไซด์และเอนไซม์ ค่ากระแสไฟฟ้าที่ได้ลดลง เพราะผิวน้ำชี้วไฟฟ้าถูกบดบัง ทำให้การส่งผ่านอิเล็กตรอนได้น้อยลง แสดงว่าเอนไซม์สามารถตีริงอยู่บนชี้วไฟฟ้าทำงานได้ จากนั้นนำชี้วไฟฟ้าที่ได้ไปตรวจสอบการตอบสนองต่อไอก็อโรเจนเบอร์ออกไซด์ด้วยเทคนิคไซคลิกโอลแทนเมทริกและเทคนิคแอมเพโรมิทริก ภาพที่ 4 แสดงไซคลิกโอลแทนเมทริกของ การตอบสนองของชี้วไฟฟ้าต่อไอก็อโรเจนเบอร์ออกไซด์ ความเข้มข้น 1.5 mM ด้วยเทคนิคแอมเพโรมิทริก และภาพที่ 5 แสดงสัญญาณการตอบสนองของชี้วไฟฟ้าต่อไอก็อโรเจนเบอร์ออกไซด์ ความเข้มข้น 1.5 mM ด้วยเทคนิคแอมเพโรมิทริก แสดงว่าชี้วไฟฟ้าสามารถตอบสนองต่อไอก็อโรเจนเบอร์ออกไซด์ได้ดี



ภาพที่ 3 โอลแทนเมทริกของ (a) ชี้วไฟฟ้าเปล่า (b) ชี้วไฟฟ้าที่ตีริงด้วยพอลิไฟโรลและอนุภาคนาโนทอง (c) กลูตารอตดีไซด์ และ (d) เอนไซม์ออกซิเดต บันช์ไฟฟ้าทำงาน



ภาพที่ 4 โอลแท็มโนแกรฟของข้าไฟฟ้าที่ตีริงด้วยพอลิไพรอลและอนุภาคนาโนทองต่อไฮดรเจนเปอร์ออกไซด์ที่ความเข้มข้นต่างๆ (a) 0 mM (b) 0.5 mM (c) 1.0 mM และ (d) 1.5 mM ที่อัตราเร็วของการสเกน 50 mV/s



ภาพที่ 5 การตอบสนองของข้าไฟฟ้าที่ตีริงด้วยเคนไนซ์ยอสาริดิช เปอร์ออกซิเดสต่อไฮดรเจนเปอร์ออกไซด์ความเข้มข้น 1.5 mM ในสารละลายน้ำฟอสเฟตบัฟเฟอร์ พีเอช 6.50 ความเข้มข้น 0.10 M ที่มีเมทิลลีนบูรุป्रิมาตระ 30 μL และให้ศักย์ไฟฟ้า -0.2 โวลต์

การหาสภาวะที่เหมาะสมของระบบใบโอลิฟอิเล็กโทรโพลิเมอร์ไวเรชันของพอลิไฟโรล

กระบวนการเกิดอิเล็กโทรโพลิเมอร์ไวเรชันของพอลิเมอร์ขึ้นอยู่กับเวลาที่ใช้ในการเกิดปฏิกิริยา ในงานวิจัยนี้ศึกษาเวลาที่ใช้ในการเกิดอิเล็กโทรโพลิเมอร์ไวเรชันของพอลิไฟโรล ที่ 30 40 50 และ 60 วินาที โดยใช้ไฟโรลความเข้มข้น 0.1 M ให้ศักย์ไฟฟ้า +0.7 โวลต์ ตรวจวัดไอกไซด์ออกไซด์ ความเข้มข้น 1.5 mM ที่ศักย์ไฟฟ้า -0.2 โวลต์ ในสารละลายฟอสเฟตบัฟเฟอร์ ความเข้มข้น 0.10 M พีเอช 6.50 ผลการทดลองเป็นดังภาพที่ 6(a) ที่เวลา 40 วินาที ให้กระแสไฟฟ้าสูงสุดแต่หลังจาก 40 วินาที ค่ากระแสไฟฟ้าลดลง หันนี้ เพราะถ้าความหนาของชั้นพอลิไฟโรลมากเกินไป เอนไซม์บนชั้นไฟฟ้ามีปริมาณน้อยลง ทำให้กระแสไฟฟ้าที่ได้ลดลง ดังนั้นจึงเลือกเวลาที่ใช้ในการเกิดอิเล็กโทรโพลิเมอร์ไวเรชันที่ 40 วินาที

ผลของความเข้มข้นของไฟโรล

ความเข้มข้นของมอนามอร์เป็นอีกปัจจัยหนึ่งที่มีผลต่อการเกิดอิเล็กโทรโพลิเมอร์ไวเรชันของพอลิเมอร์ ความเข้มข้นของไฟโรลที่ศึกษา ได้แก่ 0.025, 0.05, 0.1, 0.15 และ 0.2 M โดยใช้เวลาในการเกิดอิเล็กโทรโพลิเมอร์ไวเรชันของพอลิไฟโรล 40 นาที ให้ศักย์ไฟฟ้า +0.7 โวลต์ ตรวจวัดไอกไซด์ออกไซด์ ความเข้มข้น 1.5 mM ที่ศักย์ไฟฟ้า -0.2 โวลต์ ในสารละลายฟอสเฟตบัฟเฟอร์ ความเข้มข้น 0.10 M พีเอช 6.50 ผลการทดลองพบว่า เมื่อความเข้มข้นของไฟโรลเพิ่มขึ้น จาก 0.025 ถึง 0.1 M ค่ากระแสไฟฟ้าที่ได้เพิ่มขึ้นด้วยทั้งนี้เพราะสามารถเกิดเป็นชั้นพอลิไฟโรลเพิ่มขึ้น สามารถตั้งเอนไซม์ได้มาก จึงทำให้ค่ากระแสไฟฟ้าเพิ่มขึ้น แต่เมื่อความเข้มข้นของไฟโรลมากกว่า 0.1 M ค่ากระแสไฟฟ้าลดลง หันนี้ เพราะถ้าชั้นพอลิไฟโรลบนชั้นไฟฟ้าทำงานหนาเกินไปจะเกิดการเกะกะของเอนไซม์ (Steric effect) ทำให้เกิดปฏิกิริยากับไอกไซด์ออกไซด์ได้น้อยลง สงผลให้ค่ากระแสไฟฟ้าที่ได้ลดลงด้วย (ภาพที่ 6b) จึงเลือกใช้ไฟโรลที่ความเข้มข้น 0.1 M

ผลของปริมาณอนุภาคนาโนทอง

ศึกษาหาสภาวะที่เหมาะสมของปริมาณอนุภาคนาโนทอง เมื่อจากอนุภาคนาโนทองช่วยในการส่งผ่านอิเล็กโทรน และช่วยในการตั้งเอนไซม์ ศึกษาปริมาณอนุภาคนาโนทองที่ 300 – 1,000 μL โดยใช้ไฟโรลความเข้มข้น 0.1 M เวลาในการเกิดอิเล็กโทรโพลิเมอร์ไวเรชันของพอลิไฟโรล 40 นาที ให้ศักย์ไฟฟ้า +0.7 โวลต์ ตรวจวัดไอกไซด์ออกไซด์ ความเข้มข้น 1.5 mM ที่ศักย์ไฟฟ้า -0.2 โวลต์ ในสารละลายฟอสเฟตบัฟเฟอร์ ความเข้มข้น 0.10 M พีเอช 6.50 ภาพที่ 6 (c) แสดงผลของปริมาณอนุภาคนาโนทอง เมื่อปริมาณอนุภาคนาโนทองเพิ่มขึ้น ค่ากระแสไฟฟ้าเพิ่มขึ้น และที่อนุภาคนาโนทอง 500 μL ให้ค่ากระแสไฟฟ้าสูงสุด จึงเลือกปริมาณของอนุภาคนาโนทองที่ 500 μL เพื่อใช้ในการทดลองขั้นต่อไป

ผลของศักย์ไฟฟ้าสำหรับตรวจวัดไอกไซด์ออกไซด์

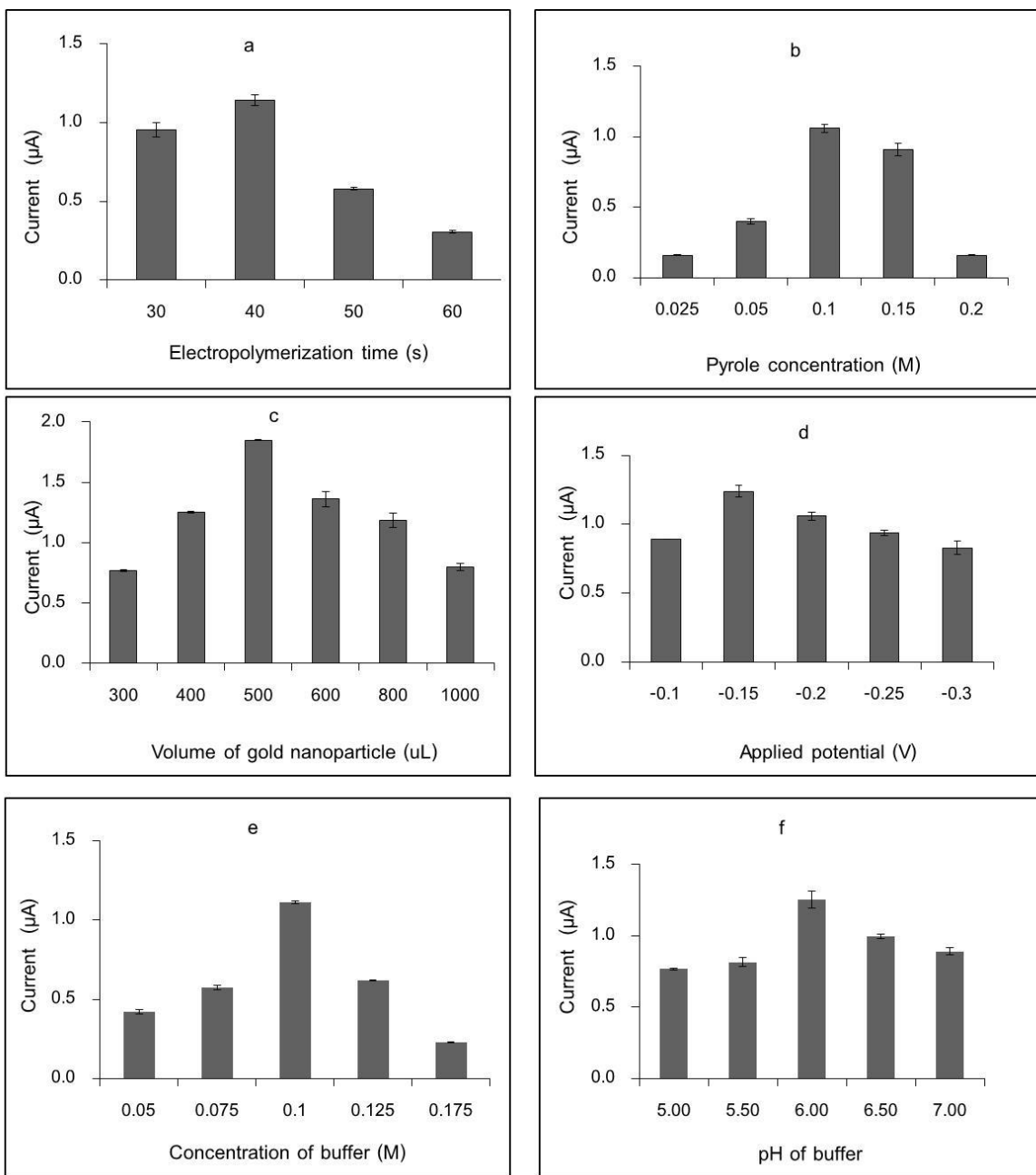
การวิเคราะห์หาไอกไซด์ออกไซด์ด้วยเทคนิคแอมเพโตรเมทริก ศักย์ไฟฟ้าที่ให้แก่ชั้นไฟฟ้าทำงานต้องเป็นศักย์ไฟฟ้าที่เหมาะสมจึงทำให้เกิดปฏิกิริยาดีที่สุด โดยงานวิจัยนี้ศึกษาศักย์ไฟฟ้าในช่วง -0.1 ถึง -0.3 โวลต์ ในการตรวจวัดไอกไซด์ออกไซด์ ความเข้มข้น 1.5 mM โดยใช้ไฟโรลความเข้มข้น 0.1 M เวลาในการเกิดอิเล็กโทรโพลิเมอร์ไวเรชันของพอลิไฟโรล 40 นาที ให้ศักย์ไฟฟ้า +0.7 โวลต์ อนุภาคนาโนทองปริมาตร 500 μL ตรวจวัดไอกไซด์ออกไซด์ ความเข้มข้น 1.5 mM ในสารละลายฟอสเฟตบัฟเฟอร์ ความเข้มข้น 0.10 M พีเอช 6.50 ผลการทดลองที่ศักย์ไฟฟ้า -0.15 โวลต์ ให้ค่ากระแสไฟฟ้าสูงสุด ดังภาพที่ 6 (d) สำหรับการวิเคราะห์หาปริมาณไอกไซด์ในงานวิจัยจึงเลือกให้ศักย์ไฟฟ้าที่ -0.15 โวลต์ แก่ชั้นไฟฟ้าทำงาน

ผลของความเข้มข้นของสารละลายนฟอสเฟตบัฟเฟอร์

ความเข้มข้นของสารละลายนฟอสเฟตบัฟเฟอร์ มีผลต่อการทำงานของเอนไซม์ โดยศึกษาที่ความเข้มข้น 0.05-0.175 M โดยใช้ไฟโรลความเข้มข้น 0.1 M เเวลาในการเกิดอิเล็กโทรโพลิเมอร์ไวรเชชันของพอลิไฟโรล 40 นาที ให้ศักย์ไฟฟ้า +0.7 โวลต์ อนุภาคนาโนทองบริมาตรา 500 μL และตรวจด้วยเครื่องเปอร์ออกไซด์ความเข้มข้น 0.15 mM ด้วยเทคนิคเอมเพอโรเมทริกที่ศักย์ไฟฟ้า -0.15 โวลต์ ในสารละลายนฟอสเฟตบัฟเฟอร์ พีเอกซ์ 6.50 ผลการทดลองเป็นดังภาพที่ 6 (e) พบว่าที่ความเข้มข้นของสารละลายนฟอสเฟตบัฟเฟอร์ 0.10 M เอนไซม์สามารถตอบสนองให้ค่ากราฟไฟฟ้าสูงสุด ในงานวิจัยนี้จึงเลือกความเข้มข้นของสารละลายนฟอสเฟตบัฟเฟอร์ที่ความเข้มข้น 0.10 M

ผลของพีเอกซ์ของสารละลายนฟอสเฟตบัฟเฟอร์

การเปลี่ยนแปลงพีเอกซ์ของสารละลายนฟอสเฟตบัฟเฟอร์มีผลต่อการทำงานที่บริเวณร่วง (active site) ของเอนไซม์ ในงานวิจัยนี้ จึงศึกษาหาพีเอกซ์ที่เหมาะสมที่พีเอกซ์ 5.50-7.00 โดยใช้ไฟโรลความเข้มข้น 0.1 M เเวลาในการเกิดอิเล็กโทรโพลิเมอร์ไวรเชชันของพอลิไฟโรล 40 นาที ให้ศักย์ไฟฟ้า +0.7 โวลต์ อนุภาคนาโนทองบริมาตรา 500 μL และตรวจด้วยเครื่องเปอร์ออกไซด์ ความเข้มข้น 1.5 mM ที่ศักย์ไฟฟ้า -0.15 โวลต์ ในสารละลายนฟอสเฟตบัฟเฟอร์ความเข้มข้น 0.10 M ผลการทดลองพบว่าที่พีเอกซ์ 6.00 ให้ค่ากราฟไฟฟ้าสูงสุด ดังนั้นในงานวิจัยนี้จึงเลือกให้สารละลายนฟอสเฟตบัฟเฟอร์ความเข้มข้น 0.1 M พีเอกซ์ 6.00 ดังภาพที่ 6 (f)



ภาพที่ 6 การหาสภาวะที่เหมาะสมของ (a) เวลาในการเกิดอิเล็กโทรโพลิเมอร์ไวซันของโพลีไพรอล
 (b) ความเข้มข้นของไพรอล (c) ปริมาณของอนุภาคนาโนทอฟ (d) ศักย์ไฟฟ้า (e) ความเข้มข้นของสารละลายน้ำฟลูออเรสเซนต์บัฟเฟอร์ และ (f) pH ของสารละลายน้ำฟลูออเรสเซนต์บัฟเฟอร์ สำหรับตรวจหาปฏิกิริยาโดยเจเนเปอร์ ออกไซด์ ความเข้มข้น 1.5 mM ด้วยเทคนิคเอมเพกโตริเซนเซอร์

การทวนสอบประสิทธิภาพของวิธีวิเคราะห์ (Validation method)

ความเที่ยงของวิธีวิเคราะห์ (Precision)

ความเที่ยงของวิธีวิเคราะห์จากการทำซ้ำของ การวัด (Repeatability) และการทวนซ้ำของวิธี (Reproducibility) สำหรับการทำซ้ำใช้ขั้วไฟฟ้าทำงานขั้วเดียวภายใต้สภาวะการทดลองเดียวกัน โดยตรวจด้วยโอดิโตรเจนเปอร์ออกไซด์ความเข้มข้น 1 mM จำนวน 10 ชั้ว วัดค่ากราฟไฟฟ้าที่ได้จากการตอบสนองของเอนไซม์ในแต่ละครั้ง และนำค่ากราฟไฟฟ้าที่ได้ไปคำนวณหาค่าส่วนเบี่ยงเบนมาตรฐานสัมพัทธ์ (Relative standard deviation ; RSD) พบว่ามีค่าเท่ากับ 3.8 % และสำหรับการทวนซ้ำของวิธี ทำการทดลองภายใต้สภาวะการทดลองเดียวกัน โดยใช้ขั้วไฟฟ้าทำงานที่เตรียมใหม่ จำนวน 5 ชั้ว แต่ละชั้วนำไปตรวจด้วยโอดิโตรเจนเปอร์ออกไซด์ความเข้มข้น 1 mM จำนวน 1 ชั้ว พบว่าค่าส่วนเบี่ยงเบนมาตรฐานสัมพัทธ์มีค่าเท่ากับ 4.2 % ผลการทดลองทั้งการทำซ้ำและการทวนซ้ำพบว่าค่าที่ได้น้อยกว่าเกณฑ์กำหนด จึงสรุปได้ว่าวิธีที่พัฒนาขึ้นมานี้มีความเที่ยงสูง (Taverniers *et al.*, 2004)

ความแม่นยำของวิธีวิเคราะห์ (Accuracy)

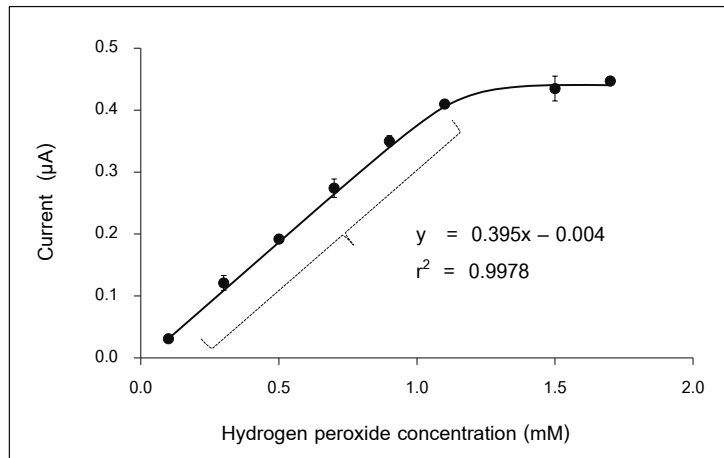
ศึกษาความแม่นยำของวิธีโดยการหาเปอร์เซนต์การได้กลับคืน (%Recovery) โดยเติมสารละลายน้ำตราชูนไอกไซด์โตรเจนเปอร์ออกไซด์ ลงในตัวอย่างจริง วัดค่ากราฟไฟฟ้าที่เกิดขึ้นจากก่อนและหลังเติมไอกไซด์โตรเจนเปอร์ออกไซด์ นำค่าที่ได้ไปคำนวณหาค่าเปอร์เซนต์การได้กลับคืน พบว่าค่าการได้กลับคืนของวิธีนี้อยู่ในช่วง 87-117 % ซึ่งอยู่ในช่วงเกณฑ์กำหนด (Taverniers *et al.*, 2004) แสดงว่าวิธีนี้มีความแม่นยำสูง มีประสิทธิภาพที่จะนำไปตรวจหาปริมาณไอกไซด์โตรเจนเปอร์ออกไซด์ ในตัวอย่างจริง

ช่วงความเป็นเส้นตรง (Linear range)

ตรวจวัดไอกไซด์โตรเจนเปอร์ออกไซด์ด้วยระบบแเอมเพโรมิทริกไปโอลูเซอร์ ที่ความเข้มข้นต่างๆ 0.1 ถึง 1.7 mM ภาคที่ 7 แสดงค่ากราฟไฟฟ้าที่ได้จากการตอบสนองของเอนไซม์ในแต่ละความเข้มข้น พบว่าให้ช่วงความเป็นเส้นตรงที่ความเข้มข้น 0.1 – 0.9 mM ให้ค่าค่าสัมประสิทธิ์สหสัมพันธ์เท่ากับ 0.9978 และมีความไววิเคราะห์ (Sensitivity) เท่ากับ 0.395 μ A/mM หมายถึงไอกไซด์โตรเจนเปอร์ออกไซด์ความเข้มข้น 1 mM จะให้ค่ากราฟไฟฟ้า 0.395 μ A

ขีดจำกัดการตรวจวัด (Detection limit)

หาขีดจำกัดการตรวจวัดของวิธี โดยตรวจวัดสารละลายน้ำแบบบล็อก (ฟอสเฟตบัฟเฟอร์) จำนวน 10 ครั้ง นำค่ากราฟไฟฟ้าที่ได้จากการตอบสนองไปคำนวณหาขีดจำกัดการตรวจวัดโดยใช้ทฤษฎีสามเท่าของสัญญาณรบกวน (Taverniers *et al.*, 2004) ผลการทดลองพบว่าวิธีที่พัฒนามีค่าขีดจำกัดการตรวจวัดที่ความเข้มข้น 0.02 mM



ภาพที่ 7 กราฟมาตรฐานของไฮโดรเจนเปอร์ออกไซด์

การวิเคราะห์หาปริมาณไฮโดรเจนเพอร์ออกไซด์ในตัวอย่างจริง

ทดสอบประสิทธิภาพของวิธีใบโองเชนเซอร์ที่ได้พัฒนาขึ้นมา โดยใช้พอกลิเมอร์นำไฟฟ้าและอนุภาคนาโนทองโดยวิเคราะห์หาปริมาณไอก็อตเดจูเจนเบอร์ออกไซด์ในตัวอย่างจริง ได้แก่น้ำยาகடສීඩ (bleach hair) น้ำยาล้างแผล (antiseptic solution) และนมสเตอริไลซ์ (Sterilized Milk) นำแต่ละตัวอย่างมาเจือจากสารละลายฟอสเฟตบัฟเฟอร์ จากนั้นนำไปตรวจวัดหาปริมาณไอก็อตเดจูเจนเบอร์ออกไซด์ โดยทำการทดลองตัวอย่างละ 3 ชั้ม ผลการวิเคราะห์เป็นดังตารางที่ 1 เมื่อนำค่าที่ตรวจวัดได้จากวิธีที่พัฒนาขึ้นเปรียบเทียบค่ากับปริมาณไอก็อตเดจูเจนเบอร์ออกไซด์ ที่ระบุไว้ในคลากของแต่ละตัวอย่าง นำค่าที่ได้จากสองวิธีไปทดสอบด้วยสถิติที-tes (t-test) พบว่าปริมาณที่วิเคราะห์ได้จากวิธีใบโองเชนเซอร์กับค่าที่ระบุไว้ในคลากไม่มีความแตกต่างกันอย่างมีนัยสำคัญ ที่ระดับความเชื่อมั่น 95% ดังนั้นจึงสรุปได้ว่าวิธีนี้สามารถนำไปประยุกต์นาบปริมาณไอก็อตเดจูเจนเบอร์ออกไซด์ในตัวอย่างจริงได้

ตารางที่ 1 ผลการวิเคราะห์หน่วยมานาخيโดเรนเปอร์ออกไซด์ในตัวอย่างจิวิ้งด้วยเทคนิคใบโคเซนเซอร์เปรียบเทียบกับผลการผลิตภัณฑ์ที่ระบุอยู่ข้างขวabd

Sample	Concentration of hydrogen peroxide (%)	
	Biosensor	Label
bleach hair	8.6±0.7	9
antiseptic solution	2.8±0.2	3
Sterilized Milk	No detectable	0

สรุปผลการวิจัย

ในงานวิจัยนี้ได้ทำการพัฒนาระบบไปโอเซนเซอร์ด้วยพอลิเมอร์นำไฟฟ้าและอนุภาคนาโนทอง เพื่อวิเคราะห์หาร่องรอยยาโดยเจนเปอร์ออกไซด์ โดยใช้เอนไซม์酵素สิราดิสเปอร์ ออกซิเดสเป็นวัสดุชีวภาพ ตั้งแต่ขั้นพอลิไพรอลและอนุภาคนาโนทองของข้าวไฟฟ้าทำงาน เมื่อเกิดปฏิกิริยาเรียดออกซิเจนที่ผิวน้ำของข้าวไฟฟ้าทำงาน ทำให้ค่ากระแสไฟฟ้าเพิ่มขึ้น และตรวจวัดค่ากระแสไฟฟ้าที่เกิดขึ้นโดยเทคนิคแอมเพอโรเมทริก ผลการทดลองพบว่าระบบไปโอเซนเซอร์ที่พัฒนามีความแม่นยำ จำเพาะเจาะจงและความถูกต้องสูง และสามารถนำไปประยุกต์ใช้ในการวิเคราะห์ในตัวอย่างจริงได้

กิตติกรรมประกาศ

งานวิจัยนี้ได้รับเงินสนับสนุนจากคณวิทยาศาสตร์และเทคโนโลยี มหาวิทยาลัยเทคโนโลยีราชมงคลธัญบุรี

เอกสารอ้างอิง

- Cao, Z., Jiang, X., Xie, Q. & Yao, S. (2008). A third-generation hydrogen peroxide biosensor based on horseradish peroxidase immobilized in a tetrathiafulvalene tetracyanoquinodimethane/multiwalled carbon nanotubes film. *Biosenser and Bioelectronic*, 24, 222-227.
- Elzanowska H, Abu-Irhayem E, Skrzyniecka B & Birss V. (2004). Hydrogen peroxide detection at electrochemically and sol-gel derived ir oxide films. *Electroanalysis*, 16, 478-490.
- Ernst, A., Makowski, O., Kowalewska, B., Miecznikowski, K. & Kulesza, P.J. (2007). Hybrid bioelectrocatalyst for hydrogen peroxide reduction: Immobilization of enzyme within organic-inorganic film of structured Prussian Blue and PEDOT. *Bioelectrochemistry*, 71, 23-28.
- Ghaderi, S. & Mehrgardi, M.A. (2014). Prussian blue-modified nanoporous gold film electrode for amperometric determination of hydrogen peroxide. *Bioelectrochemistry*, 98, 64–69.
- Haddadin, M. S., Ibrahim, S. A., & Robinson, R. K. (1996). Preservation of raw milk by activation of the natural lactoperoxidase systems. *Food Control*, 7, 149–152.
- Hoshino, M., Kamino, S., Doi, M., Takada, S., Mitani, S., Yanagihara, R., Asano, M., Yamaguchi, T. & Fujita, Y. (2014). Spectrophotometric determination of hydrogen peroxidewith osmium(VIII) and m-carboxyphenylfluorone. *Spectrochimica Acta Part A: Molecular and Biomolecular Spectroscopy*, 117, 814–816.
- Hu H.C., Jin H.J. & Chai X.S. (2012). Rapid determination of hydrogen peroxide in pulp bleaching effluents by headspace gas chromatography. *Journal of Chromatography A*, 1235, 182– 184.
- Hu, R., Wen, W., Wang, Q., Xiong, H., Zhang, X., Gu, H. & Wang, S. (2014). Novel electrochemical aptamer biosensor based on an enzyme–gold nanoparticle dual label the ultrasensitive detection of epithelial tumour marker MUC1. *Biosensors and Bioelectronics*, 53, 384-389.

- Hurdis, E.& Romeyn, H.(1954). Accuracy of determination of hydrogen peroxide by cerate oxidimetry, *Analytical Chemistry*, 26, 320–325.
- Korkut S., Keskinler B.& Erhan E. (2008). An amperometric biosensor based on multiwalled carbon nanotube-poly(pyrrole)-horseradish peroxidase nanobiocomposite film for determination of phenol derivatives, *Talanta*, 76, 1147-1152.
- Ma, L., Yuan, R., Chai, Y. & Chen, S. (2008). Amperometric hydrogen peroxide biosensor based on the immobilization of HRP on DNA-silver nanohybrids and PDDA-protected gold nanoparticles. *Journal of Molecular Catalysis B: Enzymatic*, 56, 215-220.
- Moyo, M., Okonkwo, J.O. & Agyei, N.M. (2014). An amperometric biosensor based on horseradish peroxidase immobilized onto maize tassel-multi-walled carbon nanotubes modified glassy carbon electrode for determination of heavy metal ions in aqueous solution. *Enzyme and Microbial Technology*, 56, 28-34.
- Nakabayashi, Y. & Yoshikawa, H. (2000). Amperometric biosensors for sensing of hydrogen peroxide based on electron transfer between horseradish peroxidase and ferrocene as a mediator. *Analytical Sciences*, 16, 609-613.
- Odaci, D., Telefoncu, A. & Timur, S. (2008). Pyranose oxidase biosensor based on carbon nanotube (CNT)-modified carbon paste electrodes. *Sensors and Actuators B: Chemical*, 132, 159-165.
- Shang Z.J., Xu, Y.I., Gu, Y.X.Z., Wang, Y., Wei, D.X.& Zhan, L.I. (2011). A Rapid Detection of Pesticide Residue Based on Piezoelectric Biosensor. *Procedia Engineering*, 15, 4480-4485.
- Shi, A.W., Qu, F.L., Yang, M.H., Shen, G.L. & Yu, R.Q. (2008). Amperometric H_2O_2 biosensor based on poly-thionine nanowire/HRP/nano-Au-modified glassy carbon electrode. *Sensors and Actuators B: Chemical*, 129, 779-783.
- Shi, G., Lu, J., Xu, F., Zhou, H., Jin, L.& Jin, J. (2000). Liquid chromatography-electrochemical detector for the determination of glucose in rat brain combined with in vivo Microdialysis. *Analytical Chimica Acta*. 413, 131–136.
- Silva R.A.B., Montes R.H.O., Richter E.M. & Munoz R.A.A. (2012). Rapid and selective determination of hydrogen peroxide residues in milk by batch injection analysis with amperometric detection. *Food Chemistry*, 133, 200–204.
- Suzuki, I., Nojima, S. & Tanimura E. (1999).Japanese Standard of Food Additives. (Seventh ed).Tokyo: Hirokawa Publishing Co.
- Taverniers, I., Loose, M.D. & Bockstaele, E.V. (2004). Trends in quality in the analytical laboratory. II. Analytical method validation and quality assurance. *Trends in Analytical Chemistry*, 23, 535-552.

- Tian, F., Xu, B., Zhu, L. & Zhu, G. (2001). Hydrogen peroxide biosensor with enzyme entrapped within electrodeposited polypyrrole based on mediated sol–gel derived composite carbon electrode. *Analytical Chimica Acta*, 443, 9-16.
- Tam, P.D. & Hieu, N.V. (2011). Conducting polymer film-based immunosensors using carbon nanotube/antibodies doped polypyrrole. *Applied Surface Science*, 257, 9817-9824.
- Wang, G., Xu, J.J., Chen, H.Y. & Lu, Z.H. (2003). Amperometric hydrogen peroxide biosensor with sol-gel/chitosan network-like film as immobilization matrix. *Biosensor and Bioelectronic*, 18, 335-343.
- Xin, Y., Fu-bing, X., Hong-wei, L., Feng, W., Di-zhao, C. & Zhao-yang, W. (2013). Novel H_2O_2 biosensor based on Fe_3O_4 -Au magnetic nanoparticles coated horseradish peroxidase and graphene sheets-Nafion film modified screen-printed carbon electrode. *Electrochimica Acta*, 109, 750-755.
- Xu, Q., Mao, C., Liu, N.N., Zhu, J.J. & Sheng, J. (2006). Direct electrochemistry of horseradish peroxidase based on biocompatible carboxymethyl chitosan–gold nanoparticle nanocomposite. *Biosensors and Bioelectronics*, 22, 768–773.
- Yang, P., Wang, L., Wu, Q., Chen, Z. & Lin, X. (2014). A method for determination of glucose by an amperometric bienzyme biosensor based on silver nanocubes modified Au electrode. *Sensors and Actuators B: Chemical*, 194, 71-78.
- Yao, H., Li, N., Wei, Y.L. & Zhu, J.J. (2005). A H_2O_2 biosensor based on immobilization of horseradish peroxidase in a gelatine network matrix. *Sensors*, 5, 277-283.
- Yue, H., Bu, X., Huang, M.H., Young, J. & Raglione, T. (2009). Quantitative determination of trace levels of hydrogen peroxide in crospovidone and a pharmaceutical product using high performance liquid chromatography with coulometric detection. *International Journal of Pharmaceutics*, 375, 33–40.
- Zhou, K., Zhu, Y., Yang, X. & Li, C. (2011). Preparation and application of mediator-free H_2O_2 biosensors of graphene- Fe_3O_4 composites. *Electroanalysis*, 23, 862-869.